



# 一类可修非周期 Fork-Join 排队网络分析

丁连宇 杨德礼

(大连理工大学系统工程所 大连 116024)

**摘 要** 研究一类排队空间有限且服务台可修的非周期 Fork-Join 排队网络, 给出求解稳态概率的直接法和等效法, 并计算一些排队指标和可修指标(如稳态队长、服务台的可用度和服务台的失效概率), 最后通过仿真验证其正确性.

**关键词** 排队网络, 可靠性, 稳态, 概率分布.

## 1 引言

非周期 Fork-Join 排队网络(AFJQN)<sup>[1]</sup>是一类输入和输出均具有同步性的离散事件运态系统, 在计算机领域反映并行过程, 在制造系统是装配和拆卸的模型抽象. 由于现有文献分析 AFJQN 时采用的方法都假定服务不失效<sup>[1-3]</sup>, 对于服务台可能失效和可修的 AFJQN(RAFJQN), 无论从排队论角度, 还是可修理论角度, 都是值得研究的.

考察图 1 所示的具有两个并联服务台的 RAFJQN, 其中  $M^j$  为服务台;  $B^j$  为存贮器,  $j=1, 2$ ; 服务规则为先到先服务; 完成的服务总能输出.

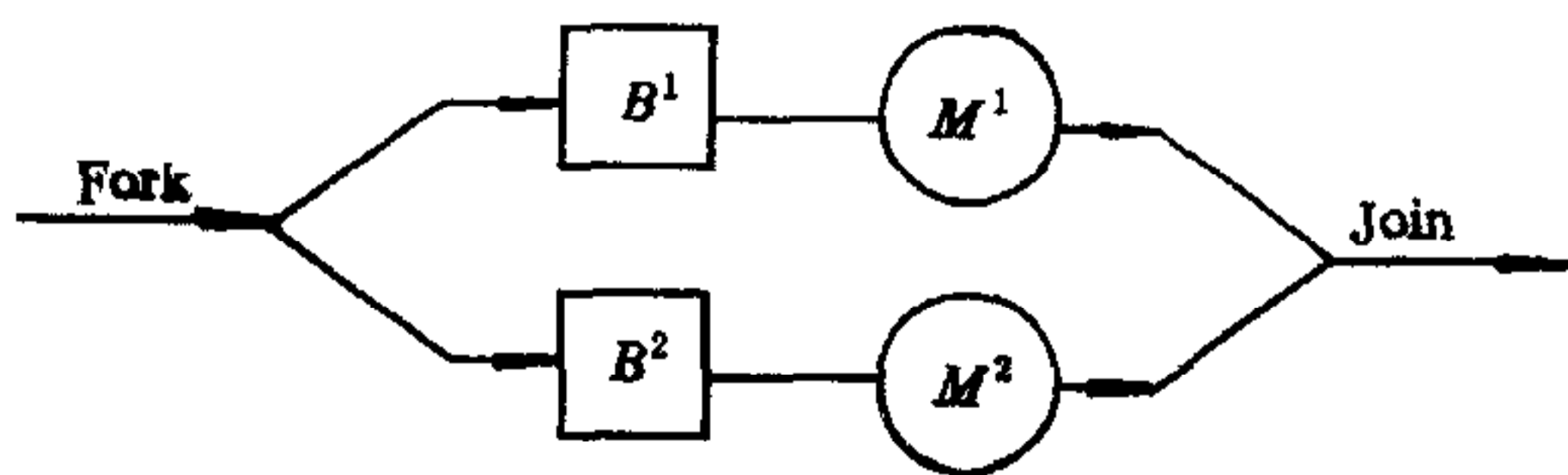


图 1 具有两个服务台的 RAFJQN

令  $\lambda, \alpha^j, \beta^j$  和  $\gamma^j$  分别为输入率、服务率、修复率和失效率,  $j=1, 2$ . 进一步假设: (1) 空闲服务台不失效; (2) 失效服务台等待修复时已服务过的时间有效; (3) 服务台修复后, 功能完全恢复.

本文基于文献[3]的分析框架, 借鉴文献[4]在分析单服务台可修系统的思想, 有

效地解决服务台可修的 RAFJQN 的性能分析, 并给出一些指标的计算方法.

## 2 RAFJQN 的稳定条件

令  $S_n^j$  为队列  $j$  中第  $n$  个顾客从开始接受服务到服务结束的时间, 其中包括为该顾客

服务期间内服务台发生失效而进行修理的时间. 根据文献[4]可得

$$1/\bar{\alpha}^j = E\bar{S}_n^j = (\beta^j + r^j)/\alpha^j\beta^j, j = 1, 2. \tag{1}$$

因此, 可将  $\bar{S}_n^j$  理解为“服务”时间. 这样图 1 的 RAFJQN 就可等效为服务率是  $\bar{\alpha}^j$  的 AFJQN.

**定理 1.** 对于  $u$  个服务台并联的 AFJQN, 达到稳定平衡的条件是

$$\lambda < \min_{j \in Q} \alpha^j \beta^j / (\beta^j + \gamma^j), Q = \{1, 2, \dots, u\}. \tag{2}$$

证明. 文献[5]已经证明了通常排队理论中系统达到稳态平衡的条件, 即输入率严格小于所有的服务率对 AFJQN 同样成立. 由于 RAFJQN 可等效成 AFJQN, 根据(1)式可知(2)式是 RAFJQN 的稳定条件.

### 3 RAFJQN 的分析

设系统状态空间为  $\{(i, j, k): 0 \leq i \leq N+1, 0 \leq j \leq M+1, 0 \leq k \leq 2\}$ . 其中  $i, j$  分别为两列队长(即排队等待和正在接受服务的任务总和);  $k$  为故障标志,  $k=0$  表示系统正常,  $k=j$  表示服务台  $j$  故障,  $j=1, 2$ ;  $N, M$  为存贮容量;  $t$  时刻系统处于  $(i, j, k)$  状态的概率为  $P_{ijk}(t)$ . 根据图 2 的状态转移图, 可建立如下平衡方程:

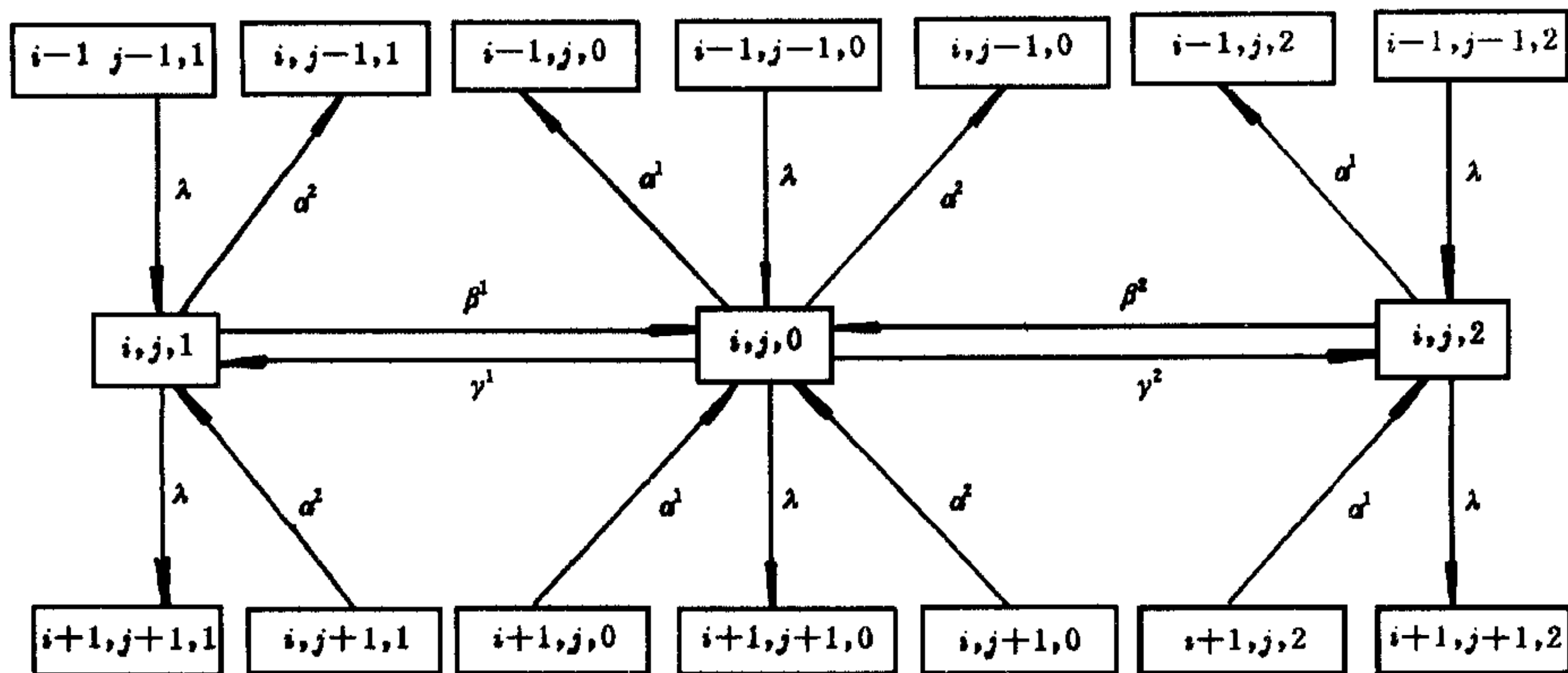


图 2 RAFJQN 的状态转移图

$$\epsilon P_{i,j,0} = \alpha^1 P_{i+1,j,0} + \alpha^2 P_{i,j+1,0} + \lambda P_{i-1,j-1,0} + \beta^1 P_{i,j,1} + \beta^2 P_{i,j,2}, 0 \leq i \leq N, 0 \leq j \leq M; \tag{3}$$

$$\epsilon P_{N+1,j,0} = \alpha^2 P_{N+1,j+1,0} + \lambda P_{N,j-1,0} + \beta^1 P_{N+1,j,1} + \beta^2 P_{N+1,j,2}, 0 \leq j \leq M; \tag{4}$$

$$\epsilon P_{i,M+1,0} = \alpha^1 P_{i+1,M+1,0} + \lambda P_{i-1,M,0} + \beta^1 P_{i,M+1,1} + \beta^2 P_{i,M+1,2}, 0 \leq i \leq N; \tag{5}$$

$$\zeta P_{i,j,1} = \alpha^2 P_{i,j+1,1} + \lambda P_{i-1,j-1,1} + \gamma^1 P_{i,j,0}, 0 \leq i \leq N+1, 0 \leq j \leq M; \tag{6}$$

$$\zeta P_{i,M+1,1} = \lambda P_{i-1,M,1} + \gamma^1 P_{i,M+1,0}, 0 \leq i \leq N+1; \tag{7}$$

$$\eta P_{i,j,2} = \alpha^1 P_{i+1,j,2} + \lambda P_{i-1,j-1,2} + \gamma^2 P_{i,j,0}, 0 \leq i \leq N, 0 \leq j \leq M+1; \tag{8}$$

$$\eta P_{N+1,j,2} = \lambda P_{N,j-1,2} + \gamma^2 P_{N+1,j,0}, 0 \leq j \leq M+1; \tag{9}$$

$$\sum_{i=0}^{N+1} \sum_{j=0}^{M+1} \sum_{k=0}^2 P_{ijk} = 1, \tag{10}$$

其中  $\epsilon = \lambda + \alpha^1 + \alpha^2 + \gamma^1 + \gamma^2, \zeta = \lambda + \alpha^2 + \beta^1, \eta = \lambda + \alpha^1 + \beta^2$ , 且有  $\alpha^1 P_{0,j,0} = 0, \alpha^1 P_{0,j,2} = 0$ ,

$$\alpha^2 P_{i,o,o} = 0, \alpha^2 P_{i,o,1} = 0, \lambda P_{N+1,j,k} = 0.$$

下面采用分块矩阵求解, 令

$$\begin{aligned} \Omega_j &= [P_{o,j,o}, P_{1,j,o}, \dots, P_{N+1,j,o}]^T, \\ \Phi_j &= [P_{o,j,1}, P_{1,j,1}, \dots, P_{N+1,j,1}]^T, \\ \Psi_j &= [P_{o,j,2}, P_{1,j,2}, \dots, P_{N+1,j,2}]^T, \\ \Omega &= [\Omega_0, \Omega_1, \dots, \Omega_{M+1}]^T, \Phi = [\Phi_0, \Phi_1, \dots, \Phi_{M+1}]^T, \\ \Psi &= [\Psi_0, \Psi_1, \dots, \Psi_{M+1}]^T, H = [0, 0, \dots, 0, 1]_{(q-1) \times 1}^T, \end{aligned}$$

$$A_i = \begin{bmatrix} a_i & c_i & & & \\ & a_i & c_i & & 0 \\ & & \ddots & \ddots & \\ 0 & & & a_i & c_i \\ & & & & a_i \end{bmatrix}_{v \times v}, \quad B_i = \begin{bmatrix} 0 & & & & \\ b_i & 0 & & & \\ & b_i & 0 & & \\ & & \ddots & \ddots & \\ 0 & & & b_i & 0 \end{bmatrix}_{v \times v}, \quad F_d = \begin{bmatrix} d_i & & & & \\ & d_1 & & & 0 \\ & & \ddots & & \\ & & & 0 & d_1 \\ 1 & 1 & \dots & 1 & 1 \end{bmatrix}_{v \times v},$$

$$D_i = \begin{bmatrix} d_i & & & & \\ & d_i & & & 0 \\ & & \ddots & & \\ 0 & & & & d_i \end{bmatrix}_{v \times v}, \quad E_i = \begin{bmatrix} e_i & & & & \\ & e_i & & & 0 \\ & & \ddots & & \\ 0 & & & & e_i \end{bmatrix}_{v \times v}, \quad F_e = \begin{bmatrix} e_1 & & & & \\ & e_1 & & & 0 \\ & & \ddots & & \\ & & & 0 & e_1 \\ 1 & 1 & \dots & 1 & 1 \end{bmatrix}_{v \times v},$$

$$F_a = \begin{bmatrix} a_1 & c_1 & & & \\ & a_1 & c_1 & & 0 \\ 0 & & \ddots & \ddots & \\ & & & a_1 & c_1 \\ 1 & 1 & \dots & 1 & 1 \end{bmatrix}_{v \times v}, \quad F_b = \begin{bmatrix} 0 & & & & \\ b_1 & 0 & & & 0 \\ & b_1 & 0 & & \\ & & \ddots & \ddots & \\ 0 & & & b_1 & 0 \\ 1 & 1 & \dots & 1 & 1 \end{bmatrix}_{v \times v}, \quad F_1 = \begin{bmatrix} 0 & 0 & \dots & 0 \\ 0 & 0 & \dots & 0 \\ \vdots & \vdots & \dots & \vdots \\ 0 & 0 & \dots & 0 \\ 1 & 1 & \dots & 1 \end{bmatrix}_{v \times v}.$$

这里  $i=1, 2, 3; v=N+2; q=v(M+2); a_1=\epsilon/\alpha^2; a_2=\xi/\alpha^2; a_3=\eta/\alpha^2; b_1=b_2=b_3=-\lambda/\alpha^2; c_1=c_3=-\alpha'/\alpha; c_2=0; d_1=-\beta'/\alpha^2; d_2=-\gamma'/\alpha^2; d_3=-\gamma^2/\alpha^2; e_1=-\beta^2/\alpha^2$ . 另有

$$\begin{aligned} R_1 &= \begin{bmatrix} A_1 & -I & & & \\ B_1 & A_1 & -I & 0 & \\ 0 & \ddots & \ddots & \ddots & \\ & & B_1 & A_1 & -I \\ F_1 & \dots & F_1 & F_b & F_a \end{bmatrix}_{q \times q}, \quad R_2 = \begin{bmatrix} A_2 & -I & & & \\ B_2 & A_2 & -I & 0 & \\ 0 & \ddots & \ddots & \ddots & \\ 0 & & B_2 & A_2 & -I \\ & & & B_2 & A_2 \end{bmatrix}_{q \times q}, \\ R_3 &= \begin{bmatrix} A_3 & & & & \\ B_3 & A_3 & & & 0 \\ & \ddots & \ddots & & \\ 0 & & B_3 & A_3 & \\ & & & B_3 & A_3 \end{bmatrix}_{q \times q}, \quad M_1 = \begin{bmatrix} D_1 & & & & \\ & D_1 & 0 & & \\ 0 & & \ddots & & \\ & & & & D_1 \\ F_1 & \dots & F_1 & F_d \end{bmatrix}_{q \times q}, \end{aligned}$$

$$M_i = \begin{bmatrix} D_i & & & \\ & D_i & & \\ & & \ddots & \\ 0 & & & D_i \end{bmatrix}_{q \times q}, (i = 2, 3), \quad N_1 = \begin{bmatrix} E_1 & & & \\ & E_1 & 0 & \\ & 0 & \ddots & \\ & & & E_1 \\ F_1 & F_1 & \dots & F_e \end{bmatrix}_{q \times q}$$

于是将(3)–(10)式写成如下矩阵形式：

$$\begin{bmatrix} R_1 & M_1 & N_1 \\ M_2 & R_2 & 0 \\ M_3 & 0 & R_3 \end{bmatrix} \begin{bmatrix} \Omega \\ \Phi \\ \Psi \end{bmatrix} = \begin{bmatrix} H \\ 0 \\ 0 \end{bmatrix}$$

若令  $W = R_1 - M_1 R_2^{-1} M_2 - N_1 R_3^{-1} M_3$ ，则有

$$\begin{aligned} \Omega &= W^{-1} H, \\ \Phi &= -R_2^{-1} M_2 W^{-1} H, \\ \Psi &= -R_3^{-1} M_3 W^{-1} H. \end{aligned}$$

至此解得稳态概率分布  $\{P_{ijk}\}$ ，称此方法为直接法。为降低状态维数，克服计算量大的不足，可通过(1)式将 RAFJQN 等效成 AFJQN。令系统状态空间为  $\{(i, j) : 0 \leq i \leq N+1, 0 \leq j \leq M+1\}$ ，则有

$$\bar{\epsilon} P_{i,j} = \bar{\alpha}^1 P_{i+1,j} + \bar{\alpha}^2 P_{i,j+1} + \lambda P_{i-1,j-1}, \quad 0 \leq i \leq N, 0 \leq j \leq M, \tag{11}$$

$$\bar{\epsilon} P_{N+1,j} = \bar{\alpha}^2 P_{N+1,j+1} + \lambda P_{N,j-1}, \quad 0 \leq j \leq M, \tag{12}$$

$$\bar{\epsilon} P_{i,M+1} = \bar{\alpha}^1 P_{i+1,M+1} + \lambda P_{i-1,M}, \quad 0 \leq i \leq N, \tag{13}$$

$$\sum_{i=0}^{N+1} \sum_{j=0}^{M+1} P_{ij} = 1. \tag{14}$$

这里  $\bar{\epsilon} = \lambda + \bar{\alpha}^1 + \bar{\alpha}^2$  根据(11)–(14)式及直接法的求解过程易得  $\{P_{ij}\}$ ，称此方法为等效法。可见等效法的状态维数是直接法三分之一。

**定理 2.** 令队列  $j$  的稳态队长为  $L^j$ ，服务台  $j$  的稳态失效概率和稳态可用度分别为  $P_f^j$  和  $P_u^j (j=1, 2)$ ，则有如下排队指标和可修指标

$$E[L^1] = \sum_{i=0}^{N+1} \sum_{j=0}^{M+1} \sum_{k=0}^{\epsilon} i P_{ijk}, \quad E[L^2] = \sum_{j=0}^{M+1} \sum_{i=0}^{N+1} \sum_{k=0}^3 j P_{ijk}, \tag{15}$$

$$P_f^1 = \sum_{i=0}^{N+1} \sum_{j=0}^{M+1} (P_{ij1} + P_{ij3}), \quad P_f^2 = \sum_{i=0}^{N+1} \sum_{j=0}^{M+1} (P_{ij2} + P_{ij3}), \tag{16}$$

$$P_u^1 = 1 - P_f^1, \quad P_u^2 = 1 - P_f^2. \tag{17}$$

**证明.** 由于  $P(L^1+i) = \sum_{j=0}^{M+1} \sum_{k=0}^3 P_{ijk}, P(L^2=j) = \sum_{i=0}^{N+1} \sum_{k=0}^3 P_{ijk}$ ，所以(15)式成立。根据失效概率和可用度的定义易得(16)和(17)式。

### 4 实例

$N = M = 2, (\alpha^1, \alpha^2, \beta^1, \beta^2, \gamma^1, \gamma^2) = (1.0, 1.25, 0.5, 0.5, 0.05, 0.05)$ ，由(1)式得  $\bar{\alpha}^1 = 0.909, \bar{\alpha}^2 = 1.36$ 。计算结果见表 1 和表 2，显然直接法与等效法在稳态队长的求解中相对

误差小于 1%.

表 1 直接法

	$\lambda=0.2$	$\lambda=0.4$	$\lambda=0.6$	$\lambda=0.8$
$E[L^1]$	1.912703	1.989827	2.068267	2.145000
$E[L^2]$	1.761534	1.841491	1.923587	2.004980
$P_f^1$	0.047979	0.044854	0.041479	0.038068
$P_f^2$	0.054655	0.050384	0.045906	0.041539
$P_u^1$	0.952021	0.955146	0.958521	0.961932
$P_u^2$	0.945345	0.949616	0.954094	0.958461

表 2 等效法

	$\lambda=0.2$	$\lambda=0.4$	$\lambda=0.6$	$\lambda=0.8$
$E[\bar{L}^1]$	1.916493	1.996161	2.078524	2.159798
$E[\bar{L}^2]$	1.755162	1.839556	1.927790	2.015916

## 5 结束语

实例验证表明,本文所研究的 RAFJQN 是有效的.相信对其进一步地研究,将会推动通讯系统、计算机集成制造系统(CIMS)、柔性制造系统(FMS)和并行处理的广泛应用.

## 参 考 文 献

- [1] Baccelli F. Acyclic Fork-Join queuing networks. *J. ACM*, 1989, **36**(3):615—642.
- [2] Zhang Z S. Analytical results for waiting time and system size distributions in two parallel queuing systems. *SIAM J. Appl. Math.*, 1990, **50**(4):1176—1193
- [3] 徐学雷,郑大钟.一类 Fork-Join 排队系统的分析.控制理论与应用,1994,**11**(3):361—365
- [4] 曹晋华,程侃.服务台可修的 M/G/1 排队系统分析.应用数学学报,1982,**5**(2):113—127
- [5] Konstantopoulos P, Walrand J. Stationary and stability of Fork-Join networks. *J. Appl. Prob.*, 1989, **26**:604—614.

## ANALYSIS OF A CLASS OF REPAIRABLE ACYCLIC FORK-JOIN QUEUING NETWORKS

DING LIANYU YANG DELI

(Institute of Systems Engineering, DUT, Dalian 116024)

**Abstract** A class of repairable acyclic fork-join queuing networks (RAFJQN) with finite queuing spaces and repairable service machine is considered. In calculating steady-state probability, both direct method and equivalent method are proposed. In addition, some indices (such as steady-state queuing length, failure probabilities of server and utilizable rates of server) in queueing theory and repairable theory are obtained. Finally, examples are given by simulation.

**Key words** Queueing network models, reliability, steady states, probability distribution function.